

AEG Thyatron

ASG 5830

S 15/40 i

Triode mit Quecksilberdampffüllung

Mercury-vapour triode

Triode avec remplissage à vapeur de mercure

Triode con relleno de vapor de mercurio

Glasausführung

Glass type

Exécution verre

Tipo de vidrio

Kathode

Cathode

Cathode

Cátodo

indirekt geheizt

indirectly heated

à chauffage indirect

caldeado indirectamente

Montageanordnung: senkrecht mit dem Sockel nach unten

Mounting Position: Vertical, base down

Disposition de montage: verticale avec socle dirigé vers le bas

Para montaje: vertical con portaválvula hacia abajo

Gewicht

Approx. net weight

Poids

Peso

1,2 kg

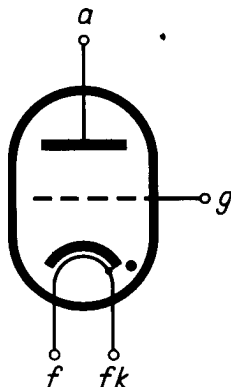
2,65 lbs

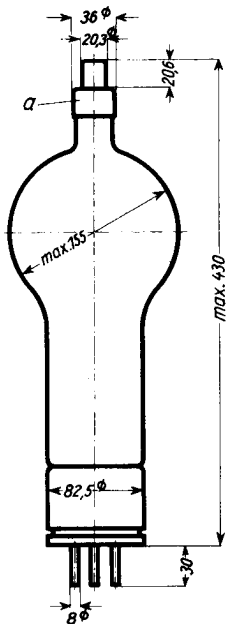
a = Anode
Anode
Anode
Anodo

g = Steuergitter
Control grid
Grille de réglage
Rejilla de mando

k = Kathode
Cathode
Cathode
Cátodo

f = Heizung
Heating
Chauffage
Caldeo





Sockelansicht von unten
 Bottom view of socket
 Socle vu du bas
 Portaválvula vista desde abajo



Abmessungen
 Dimensions
 Dimensiones

} mm

Technische Werte Technical data Caractéristiques techniques Datos técnicos

Heizspannung

Filament voltage
Tension de chauffage
Tensión de caldeo

U_f 5 V

Heizstrom

Filament current
Courant de chauffage
Corriente de caldeo

ca.
abt.
env.
aprox. } J_f 20 A

Toleranz der Heizspannung

Max. permissible filament voltage fluctuations
Fluctuation admissible de la tension de chauffage
Tolerancia de la tensión de caldeo

max. $\pm 5\%$

Anheizzeit

Cathode-heating time
Durée de chauffage
Tiempo de precaldeo

t_f min. 10 min.

Anodenspannung (Scheitelwert)

Anode voltage (crest value)
Tension anodique (valeur de crête)
Tensión anódica (valor cresta)

U_a max. 15 kV

Sperrspannung (Scheitelwert)

Inverse voltage (crest value)
Tension d'arrêt (valeur de crête)
Tensión de bloqueo (valor cresta)

U_{inv} max. 15 kV

Anodenstrom (Scheitelwert)

Anode current (crest value)
Courant anodique (valeur de crête)
Corriente anódica (valor cresta)

J_{max} 40 A

Anodenstrom (Mittelwert)

Anode current (average)
Courant anodique (valeur moyenne)
Corriente anódica (valor medio)

J_a max. 12 A

Steuergitterspannung bei gesperrter Röhre (Scheitelwert)

Negative control grid bias of non-conducting tube (crest value)
Tension de grille régulatrice pour tube non allumé (valeur de crête)
Tensión de rejilla de mando con válvula no encendida (valor cresta)

U_g max. - 600 V

Steuergitterstrom (Scheitelwert)

Control grid current (crest value)

Courant de grille (valeur de crête)

Corriente de rejilla (valor cresta)

} $\hat{i}_g \text{ max. } 0,2 \text{ A}$

Steuergitterstrom (Mittelwert)

Control grid current (average)

Courant de grille (valeur moyenne)

Corriente de rejilla (valor medio)

} $i_g \text{ max. } 0,04 \text{ A}$

Gitterwiderstand

Max. grid resistance

Résistance de grille

Resistencia de rejilla

} $R_g \text{ max. } 100 \text{ k } \Omega$

Spannungsabfall an der gezündeten Röhre

Arc drop

Chute de tension

Caída de tensión

} $U_B \quad 15 \text{ V}$

Integrationszeit

Integration time

Temps d'intégration

Tiempo de integración

} $\tau \text{ max. } 15 \text{ sec.}$

Jonisationszeit

Ionisation time

Temps d'ionisation

Tiempo de ionización

} $t_i \quad 10 \mu \text{ sec.}$

Freiwerdezeit

Recovery time

Temps de recouvrement

Tiempo de recobro

bei

at

à

en

} $U_g = - 10 \text{ V}$

} $U_g = - 100 \text{ V}$

} $t_r \quad 300 \mu \text{ sec.}$

} $t_r \quad 80 \mu \text{ sec.}$

Gitteranoden-Kapazität

Grid-anode capacity

Capacité d'anode de grille

Capacidad del ánodo de rejilla

} $C_{ag} \quad 5,5 \text{ pF}$
($\mu\mu\text{F}$)

Eingangs-Kapazität

Grid-filament capacity

Capacité a'entrée

Capacidad rejilla filamento

} $C_g \quad 25 \text{ pF}$
($\mu\mu\text{F}$)

Ausgangs-Kapazität

Anode-filament capacity

Capacité de sortie

Capacidad ánodo-filamento

} $C_a \quad 15 \text{ pF}$
($\mu\mu\text{F}$)

Umgebungstemperatur

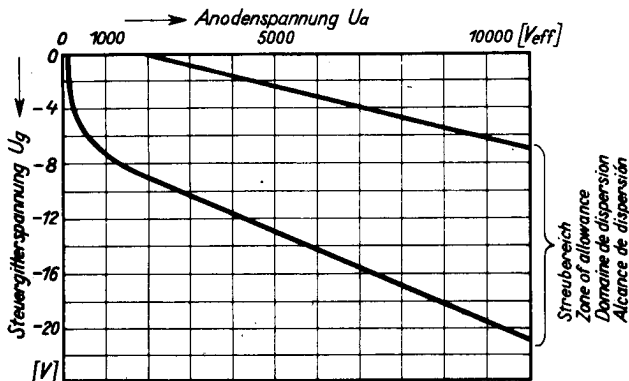
Ambient temperature

Température ambiante

Temperatura de ambiente

} min. $+15^\circ \text{ C}$

} max. $+35^\circ \text{ C}$



Zündkennlinienbereich bei einer großen Zahl von Röhren gemessen. Zündkennlinie stellt Steuergitterspannung U_g in Abhängigkeit von der Anodenwechselspannung U_a (Effektivwert) am Zündpunkt dar.

Band of ignition characteristics as determined from measurements of a multitude of tubes.

Breakdown characteristic presents grid potential U_g as function of anode voltage (effective) U_a at firing point.

Domaine des caractéristiques d'allumage d'eterminé sur un grand nombre de tubes. La caractéristique d'allumage représente la tension de grille U_g en fonction de la tension alternative anodique (valeur effective) au point d'allumage.

Alcance de las características de ignición determinado en gran número de válvulas medidas.

La característica de ignición representa la tensión de rejilla de mando U_g en dependencia de la tensión alterna anódica U_a (valor eficaz) en el punto de ignición.